

آزمون‌های زیستی و مولکولی گیاه نخود تراریخته (*Cicer arietinum* L.) مقاوم به آفت پيله‌خوار (*Helicoverpa armigera* Hub.)

پرویز عبادی باباجان^۱، نسرین مشتاقی^{۲*}، عبدالرضا باقری^۲، حسن مرعشی^۳ و سعید ملک‌زاده سفارودی^۲

۱- کارشناسی‌ارشد بیوتکنولوژی کشاورزی، دانشکده کشاورزی، دانشگاه فردوسی مشهد

۲- اعضای هیئت علمی گروه بیوتکنولوژی و به‌نژادی گیاهی دانشکده کشاورزی، پژوهشکده فناوری زیستی

و پژوهشکده علوم گیاهی دانشگاه فردوسی مشهد

۳- عضو هیئت علمی گروه بیوتکنولوژی و به‌نژادی گیاهی دانشکده کشاورزی و پژوهشکده فناوری زیستی دانشگاه فردوسی مشهد

تاریخ دریافت: ۱۳۹۱/۰۲/۱۲

تاریخ پذیرش: ۱۳۹۳/۰۲/۲۱

چکیده

آفت پيله‌خوار یکی از عوامل اصلی کاهش عملکرد نخود محسوب می‌شود و انتقال ژن با هدف افزایش مقاومت به این آفت، از اهداف اصلاحی در این گیاه زراعی می‌باشد. یکی از راهبردهای مؤثر برای تولید نخود تراریخته مقاوم به آفت پيله‌خوار، استفاده از سموم طبیعی Cry از باکتری باسیلوس تورینجینسیس است. این سموم قادرند در معده حشرات فعال شده و سیستم گوارشی حشره را مختل نمایند. در مطالعه حاضر بررسی ثبات حضور ژن *cryIAC* و بیان آن در نسل‌های سوم (T3) و چهارم (T4) حاصل از نسل دوم نخود تراریخته با ژن *cryIAC* و ژن گزینشگر *nptII* انجام شد تا بتوان به لاینی دست یافت که تنها حاوی ژن *cryIAC* بوده و ژن *nptII* بر اثر نوترکیبی بین دو T-DNA از آن تفکیک شود. آزمون PCR از بین ۲۵ نمونه مشکوک در نسل سوم به وجود ژن *cryIAC*، در ۶ مورد باند مربوط به ژن *cryIAC* و باند مربوط به ژن *nptII* را در تمامی نمونه‌ها نشان داد، ولی از بین این نمونه‌ها، در آزمون RT-PCR تنها در ۵ مورد ژن *cryIAC* در سطح RNA بیان شد. نتایج PCR در طی نسل چهارم حاکی از وجود باند مربوط به ژن *cryIAC* در ۷۳ مورد و باند مربوط به ژن *nptII* در ۸۱ نمونه از ۹۴ مورد بود. در ۱۰ نمونه از گیاهان تراریخته که حاوی ژن *cryIAC* بودند، باند مربوط به ژن *nptII* مشاهده نگردید که این نشان‌دهنده آن بود که ژن *cryIAC* از ژن *nptII* تفکیک شده است. نتایج آزمون RT-PCR نیز نشان داد که ژن موردنظر در همه گیاهان تراریخته، در سطح RNA بیان شده است. همچنین نتایج آزمون الایزا نشان داد که در تمام نمونه‌های مورد آزمون، پروتئین CryIAC در لاین‌های مختلف در غلظت‌های متفاوتی بیان شده است. در آزمون زیست‌سنجی، لاروهایی که با برگ گیاهان غیرتراریخته تغذیه شدند، همگی زنده ماندند، اما در مقابل لاروهایی که با برگ گیاهان تراریخته نسل T4 تغذیه شدند، همگی به‌طور کامل از بین رفتند که این امر نشان‌دهنده بروز موفقیت‌آمیز فنوتیپ مورد انتظار می‌باشد.

واژه‌های کلیدی: آفت پيله‌خوار، نخود تراریخته، *cryIAC*, Bt

مقدمه

میزان خسارت آفت پيله‌خوار نخود در سطح جهانی سالانه بالغ بر ۳۲۵ میلیون دلار تخمین زده شده است (Popelka & Higgins, 2007)، لذا افزایش مقاومت در برابر این آفت می‌تواند سبب بهبود عملکرد این گیاه در نواحی کاشت آن شود. یکی از راهبردهای مؤثر برای تولید نخود تراریخته مقاوم به آفت پيله‌خوار، استفاده از سموم طبیعی Cry از باکتری *Bacillus thuringiensis* است. این سموم قادرند در معده حشرات، فعال شده و سیستم گوارشی حشره را مختل نمایند. تلاش‌های متعددی برای انتقال انواع ژن‌های *cry* به گیاهان زراعی جهت ایجاد مقاومت به انواع آفات حشره‌ای انجام شده است و تعدادی از گیاهان Bt هم‌اکنون در سطح وسیعی در کشورهای مختلف نظیر هند، چین، ایالات متحده، اسپانیا، کانادا، استرالیا، پرتغال، چک، لهستان، اسلواکی، رومانی و برزیل

تنش‌های زیستی نظیر آفت پيله‌خوار، از عوامل اصلی کاهش عملکرد نخود محسوب می‌شوند. اصلاح نخود از طریق روش‌های مرسوم مشابه با سایر گیاهان با صرف هزینه و زمان زیادی انجام می‌شود و در برخی مواقع به دلیل فقدان ژن‌های مطلوب در خزانه ژرم‌پلاسما و عدم تلاقی بین گونه‌ای، با محدودیت‌هایی مواجه است. لذا به نظر می‌رسد بتوان با استفاده از تلفیق روش‌های نوین کشت این‌ویترو و مهندسی ژنتیک، موانع موجود در روش‌های اصلاحی کلاسیک را از میان برداشته و فرایندهای اصلاحی را سرعت بخشید (Bajaj, 1990).

* نویسنده مسئول: مشهد، میدان آزادی، دانشگاه فردوسی، دانشکده کشاورزی، گروه بیوتکنولوژی و به‌نژادی گیاهی، moshtaghi@um.ac.ir

انجام شد. جوانه‌زنی بذور در داخل پتری‌دیش در شرایط آزمایشگاهی انجام گرفت. بعد از جوانه‌زنی، بذور به گلدان‌های کوچک انتقال داده شدند. بعد از ۲۰ روز، نمونه برگ‌ها از هر کدام از بوته‌ها برای استخراج DNA و RNA و پروتئین تهیه شدند و درون میکروتیوب‌های ۱/۵ میلی‌لیتری قرار داده شده و در فریزر با دمای ۸۰- نگهداری شدند.

استخراج DNA و انجام PCR

استخراج DNA با استفاده از کیت استخراج DNA (Fermentas #K0512) طبق دستورالعمل شرکت سازنده از بافت برگ‌ها فریز شده صورت گرفت. پس از هر استخراج، کمیت و کیفیت DNA ژنومی با نانودراپ و الکتروفورز بر روی ژل آگارز تعیین شد. جهت تأیید وجود ژن *nptII* و *cryIAC* در گیاه، واکنش زنجیره‌ای پلی‌مراس با استفاده از آغازگرهای ژن *nptII* و *cryIAC* انجام شد (جدول ۱). تعداد چرخه‌های انجام گرفته برای ژن *cryIAC*، ۳۵ چرخه و حجم نهایی واکنش ۲۵ میکرولیتر در نظر گرفته شد. واسرشت‌سازی اولیه برای هر دو ژن، در دمای ۹۵ درجه سانتی‌گراد به مدت ۵ دقیقه و در ۳۵ چرخه بعدی به مدت یک دقیقه انجام شد. دمای اتصال برای آغازگر *cryIAC*، ۵۴ درجه سانتی‌گراد و به مدت ۹۰ ثانیه و برای ژن *nptII* ۵۱ درجه سانتی‌گراد و به مدت ۶۰ ثانیه در نظر گرفته شد. مرحله پلیمریزاسیون در دمای ۷۲ درجه سانتی‌گراد و به مدت ۱۲۰ ثانیه برای ژن *cryIAC* و ۹۰ ثانیه برای ژن *nptII* برای تمام چرخه‌ها و ۱۰ دقیقه برای چرخه نهایی انتخاب شد. در ضمن برای تأیید نسبت تفکیک ژن *cryIAC* از آزمون کای‌مربع در نسل چهارم استفاده گردید.

استخراج RNA و انجام RT-PCR

برای استخراج RNA از کیت Fast Pure™ RNA (TaKaRa) در نسل سوم و کیت استخراج RNA دنایزیست (#S1020) در نسل چهارم استفاده شد. مقدار ۵۰ میلی‌گرم از بافت برگ فریز شده توسط هاون عاری از RNase (اتوکلاو شده و شستشو با آب *depsi*) به خوبی ساییده شد و بقیه مراحل طبق دستورالعمل کیت شرکت سازنده انجام گرفت. پس از هر استخراج، کمیت و کیفیت RNA استخراج شده با نانودراپ و الکتروفورز بر روی ژل آگارز تعیین شد. نمونه‌های RNA برای اطمینان از عدم آلودگی، DNA زدایی شدند و PCR نمونه‌های RNA هیچ بانندی را تکثیر نمود. سپس نسخه‌برداری معکوس با استفاده از کیت Quantitect Reverse Transcription (Takara) طی نسل سوم و کیت Revert Aid First Strand Kit (Fermentas, K1621) طی نسل چهارم در حجم نهایی ۲۰ میکرولیتر انجام پذیرفت. حجم مذکور حاوی یک

کشت می‌شوند (James, 2011). این گیاهان میزان مصرف آفت‌کش‌ها را کاهش داده و مزایای فراوانی را برای تولیدکننده و مصرف‌کننده به همراه دارند، ضمن این‌که باعث صرفه‌جویی اقتصادی نیز خواهند شد.

محققان با استفاده از آگروباکتريوم تومی‌فاشینس توانسته‌اند انتقال چندین ژن نشانگر و گزارشگر از جمله *bar*, *nptII*, *gus* و *gfp* را در نخود ردیابی کنند (Fontana *et al.*, 1993; Krishnamurthy *et al.*, 2000; Chandra & Pental, 2003; Somers *et al.*, 2003; Polowick *et al.*, 2004). Fontana *et al.*, (1993) اولین کسانی بودند که توانستند گیاه نخود تراریخته با ژن *gus* را تولید نمایند. آن‌ها در تحقیق خود از محورهای جنینی به‌عنوان ریزنمونه و از آگروباکتريوم تومی‌فاشینس جهت تراریزش استفاده کردند. علاوه بر این، تلاش‌هایی نیز در جهت تولید نخود مقاوم به آفت کرم پیله‌خوار انجام گرفته و با موفقیت همراه بوده است (Moshtaghi, 2008; Moshtaghi *et al.*, 2010; Sanyal *et al.*, 2005; Indurker *et al.*, 2007; Acharjee *et al.*, 2010; Mehrotra *et al.*, 2011).

در مطالعه Moshtaghi *et al.*, (2010) سعی شد تا با انتقال ژن *cryIAC* به لاینی از نخود Bt دست یابد که بتواند به‌طور مؤثری باعث کنترل آفت پیله‌خوار در نخود شود و این مطالعات تا نسل دوم گیاهان تراریخته پیش رفته است. نکته متمایز در بررسی آن‌ها، استفاده از دو ژن گزارشگر *nptII* و ژن عامل تولید پروتئین کریستالی در دو T-DNA جدای از هم روی پلاسمید آگروباکتريوم می‌باشد. به این ترتیب، علاوه بر انتقال ژن *cryIAC* می‌توان انتظار داشت که در نسل‌های بعد به لاینی دست یافت که تنها حاوی ژن *cryIAC* بوده و ژن گزارشگر مقاوم به آنتی‌بیوتیک (*nptII*) بر اثر نوترکیبی بین این دو T-DNA حذف شود.

بنابراین می‌توان در نسل‌های بعد که هدف این بررسی نیز می‌باشد به یک لاین مطلوب هموزیگوس از ژن *cryIAC* دست یافت که مشکل ژن‌های مقاوم به آنتی‌بیوتیک را دارا نیست و نیز باعث کنترل مؤثر آفت پیله‌خوار خواهد شد. لذا در مطالعه حاضر سعی شد ضمن بررسی ثبات حضور ژن *cryIAC* و بیان آن در نسل‌های T3 و T4 بتوان به لاینی دست یافت که تنها حاوی ژن *cryIAC* بوده و ژن *nptII* بر اثر نوترکیبی بین دو T-DNA از آن تفکیک شود.

مواد و روش‌ها

کشت گیاهان و تهیه نمونه

ضد عفونی بذور نخود تراریخته مقاوم به آفت پیله‌خوار در طی نسل سوم و چهارم، در وایتکس ۰/۵ درصد به مدت ۴ دقیقه

به‌عنوان الگو در واکنش PCR مشابه با قسمت قبل استفاده شد.

میکروگرم rRNA الگو است. به‌منظور بررسی بیان ژن در سطح rRNA، آزمون RT-PCR با استفاده از cDNA‌های سنتز شده صورت گرفت. بدین‌منظور cDNA‌های سنتز شده

جدول ۱- توالی آغازگر ژن‌های *nptII* و *cryIac*

Table 1. Primer sequences of *cryIac* and *nptII* genes

اندازه محصولات Product size	برگشت Reverse	رفت Forward	آغازگر Primer
1473 bp	5'-TCACTGCAGGGATTTGAGTAATA-3'	5'-GACACAATGGACAACAACCCAAA-3'	<i>cryIac</i>
887 bp	5'-GGCTATTCGGCTATGACTG-3'	5'-ATCGGGAGCGGCGATACCGTA-3'	<i>nptII</i>

نخود تراریخته در داخل پتری‌دیش در دمای ۲۵ درجه سانتی‌گراد در قالب طرح کاملاً تصادفی با سه تکرار به‌مدت یک‌هفته تغذیه شدند. در این آزمون، یک برگ به‌همراه یک لارو در هر پتری‌دیش قرار داده شدند. بعد از این مدت میزان مرگومیر لاروها ثبت گردید.

نتایج و بحث

نتایج کشت گیاهان

در نسل سوم گیاهان تراریخته، تعداد کل بذور جوانه‌زده ۲۵ عدد بود که ارزیابی PCR و RT-PCR در نسل سوم بر روی آن‌ها صورت گرفت. نمونه‌های شاهد نیز برای تکثیر و به‌دست آوردن بذور کشت شدند. در نسل چهارم، ۱۰۸ عدد بذر حاصل از لاین‌های تراریخته حاوی ژن *cryIac* و چند گیاه شاهد غیر تراریخته نیز کشت شدند. از این تعداد بذور تراریخته ۹۴ گیاه به مرحله گلدهی رسیدند، ولی ۶۸ گیاه قادر به تولید بذر برای نسل بعدی شدند.

نتایج آزمون PCR

از گیاهان حاصل از کشت بذور در نسل سوم، در آزمون PCR، در مورد باند مربوط به ژن *cryIac* مشاهده گردید و باند مربوط به ژن *nptII* در تمامی نمونه‌ها مشاهده شد.

PCR با آغازگرهای *cryIac* منجر به تکثیر یک قطعه ۱۴۷۳ جفت بازی (شکل ۱) و با آغازگرهای *nptII* منجر به تکثیر قطعه ۸۸۷ جفت بازی (شکل ۲) شد.

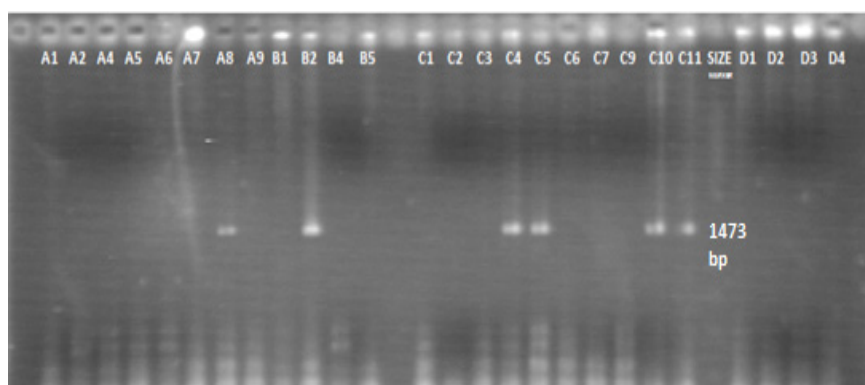
نتایج PCR در طی نسل چهارم حاکی از وجود باند مربوط به ژن *cryIac* در ۷۳ مورد از ۹۴ مورد (شکل ۳)، و باند مربوط به ژن *nptII* در ۸۱ نمونه از ۹۴ مورد (شکل ۴) بود. در ۱۰ نمونه از گیاهان تراریخته که حاوی ژن *cryIac* بودند، باند مربوط به ژن *nptII* مشاهده نگردید که این، نشان‌دهنده این مطلب بود که ژن *cryIac* از ژن *nptII* تفکیک شده است.

آزمون ELISA

آزمایش الایزا با استفاده از کیت Krishgene Biosystem (KBA005D #) صورت گرفت. بدین‌منظور، از محلول استخراج پروتئین کیت برای استخراج پروتئین از بافت برگ استفاده شد. بافر استخراج پروتئین به مقدار ۵۰ میکرولیتر به‌همراه بافت برگ در درون میکروتیوب قرار گرفت. سپس با استفاده از یک پستل، بافت برگ به‌صورت دستی کاملاً له شد. سپس محلول حاصل در دستگاه سانتریفیوژ در ۱۲۰۰ دور و به‌مدت ۲ دقیقه قرار گرفت. بعد از آن، محلول رویی که حاوی پروتئین کل بود برداشته شد. بعد از استخراج پروتئین، انجام آزمون الایزا با استفاده از آنتی‌بادی‌های اختصاصی *CryIac* طبق دستورالعمل کیت شرکت سازنده انجام گرفت. در نهایت چگالی نوری (جذب نوری) چاهک‌ها در ۴۵۰ نانومتر اندازه‌گیری شد. ارزیابی نتایج با مشاهده تغییر رنگ چاهک از بی‌رنگ به رنگ زرد و یا اندازه‌گیری میزان جذب در محدوده طول موج ۴۵۰ نانومتر با استفاده از دستگاه الایزاخوان صورت گرفت (Stat Fax 2100, Awarness Tech. Inc, USA).

ارزیابی زیستی

برای تأیید تأثیر بیان پروتئین Bt بر رشد لارو آفت پيله‌خوار در گیاهان تراریخته نسل چهارم و بروز فنوتیپ مورد نظر، از آزمون زیست‌سنجی استفاده شد. بدین‌منظور از برگ گیاهان شاهد (غیرتراریخته‌های نسل چهارم که حاصل از تفریق یافتن لاین‌های تراریخته نسل سوم بودند) و تراریخته‌های نسل چهارم استفاده گردید. لاین‌های تراریخته‌ای که مورد این آزمون قرار گرفتند شامل 4E15، 4E11، 4D7، 4E30 بودند. برای این آزمون، از لاروهای یک تا دوازده که از مزرعه دانشگاه فردوسی مشهد جمع‌آوری شده بودند، استفاده شد. لاروها، بعد از جمع‌آوری به آزمایشگاه انتقال داده شدند. لاروها توسط برگ‌های تازه نخود غیرتراریخته به‌عنوان شاهد و برگ‌های تازه

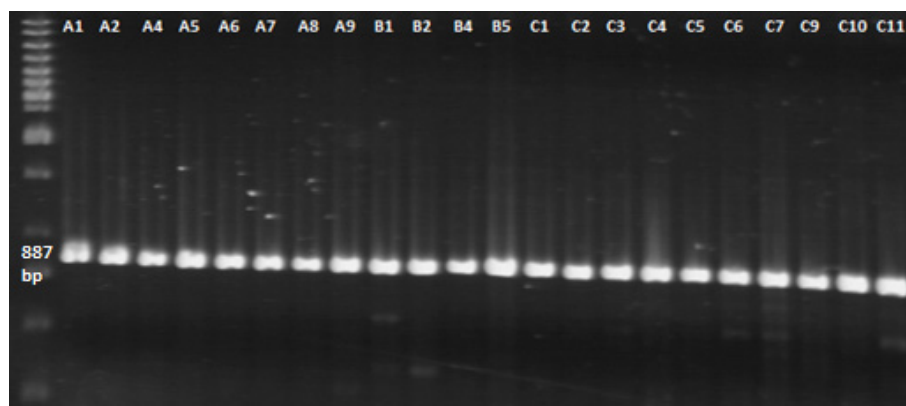


شکل ۱- تکثیر قطعه ۱۴۷۳ جفت بازی مربوط به ژن *cryIAC* در نسل سوم گیاهان تراریخته

(چاهک‌های مختلف، لاین‌های تراریخته هستند که بذور به دست آمده از یک گیاه با حرف لاتین مشترک نشان داده شده‌اند).

Fig. 1. Amplified 1473 bp *cryIAC* gene by PCR in T3 generation of transgenic plants

(Different wells show the transgenic lines which the common alphabet indicated the all seeds from one plant)



شکل ۲- تکثیر قطعه ۸۸۷ جفت بازی مربوط به ژن *nptII* در نسل سوم گیاهان تراریخته

(چاهک‌های مختلف، لاین‌های تراریخته هستند که بذور به دست آمده از یک گیاه با حرف لاتین مشترک نشان داده شده‌اند).

Fig. 2. Amplified 887 bp *cryIAC nptII* by PCR in T3 generation of transgenic plants

(Different wells show the transgenic lines which the common alphabet indicated the all seeds from one plant)

مشاهده گردید؛ و به بیان دیگر در همه گیاهان تراریخته، ژن موردنظر در سطح RNA بیان شده است (شکل ۵-ب).

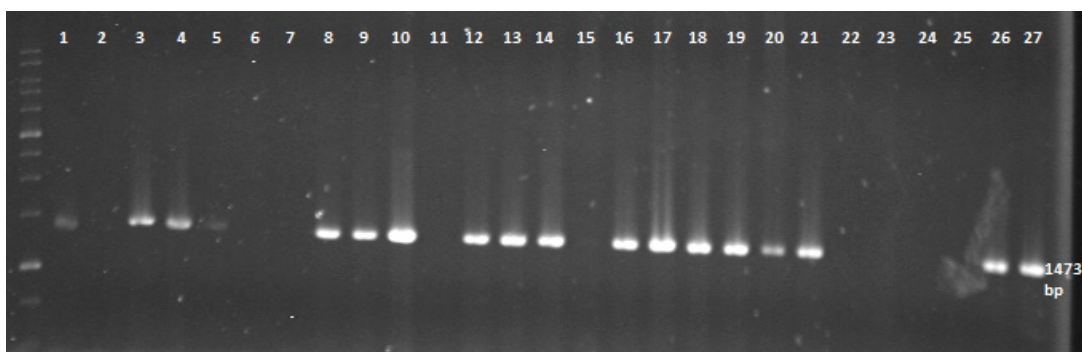
نتایج آزمون ELISA

آزمون ELISA به منظور تأیید بیان پروتئین CryIAC در گیاهانی که دارای ژن این پروتئین بودند، صورت گرفت. پس از انتقال میزان برابر از پروتئین کل به درون چاهک‌ها، انتظار می‌رفت که تغییر رنگ ناشی از وجود پروتئین مربوطه، و با اندازه‌گیری میزان جذب نوری در طول موج ۴۵۰ نانومتر با استفاده از دستگاه الیزاخوان میزان بیان پروتئین CryIAC در گیاهان تراریخته را مشخص کند. همان‌طوری که انتظار می‌رفت، تغییر رنگ متمایل به زرد در چاهک‌ها مشاهده شد (شکل ۶).

نتایج حاصل از PCR نشان داد که تفکیک ژن *cryIAC* با نسبت ۳:۱ در نسل چهارم صورت گرفته است. آزمون کای‌مربع این نسبت را تأیید نمود (جدول ۲).

نتایج RT-PCR

از بین ۶ نمونه موجود در نسل سوم که دارای ژن *cryIAC* بودند، در آزمون RT-PCR معمولی، در ۵ مورد قطعه ۱۴۷۳ جفت بازی مربوط به ژن *cryIAC* تکثیر شد و بر روی ژل آگارز ۱ درصد باند مربوطه مشاهده گردید (شکل ۵-ا). در طی نسل چهارم از ۷۳ نمونه‌ای که در آزمون PCR دارای ژن *cryIAC* بودند، استخراج RNA صورت گرفت. پس از ساخت cDNA، آزمون RT-PCR با استفاده از آغازگر ژن *cryIAC* به عمل آمد. نتایج آزمون RT-PCR نشان داد که در همه نمونه‌ها باند مربوطه مشاهده شد و قطعه ۱۴۷۳ جفت بازی

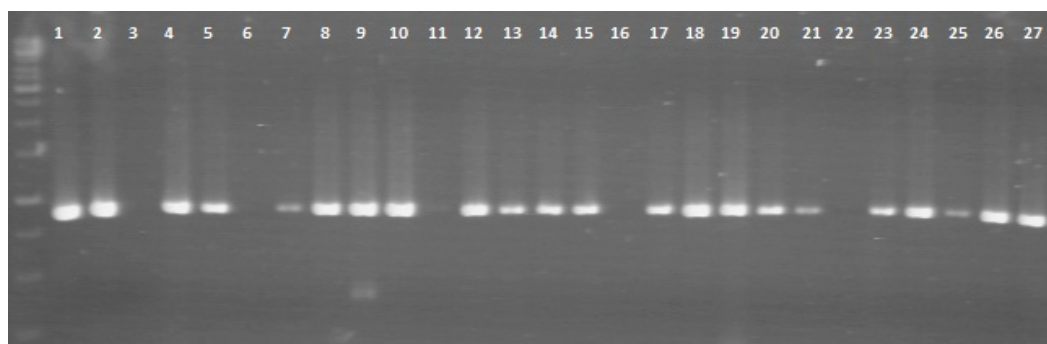


شکل ۳- تکثیر قطعه ۱۴۷۳ جفت بازی مربوط به ژن *cryIAc* در نسل چهارم گیاهان تراریخته

Fig. 3. Amplified 1473 bp *cryIAc* gene by PCR in T4 generation of transgenic plants

The number well from left to right are, respectively:

4A1-4A2-4A3-4A4-4A5-4A6-4A7-4A8-4A9-4A10-4A11-4A12-4A13-4A14-4A15-4A16-4A17-4A18-4A19-4B1-4B2-4B3-4B4-4C1-4C2-4C3-4C4



شکل ۴- تکثیر قطعه ۸۸۷ جفت بازی مربوط به ژن *nptII* در نسل چهارم گیاهان تراریخته

Fig. 4. Amplified 887 bp *nptII* gene in PCR in T4 generation of transgenic plants

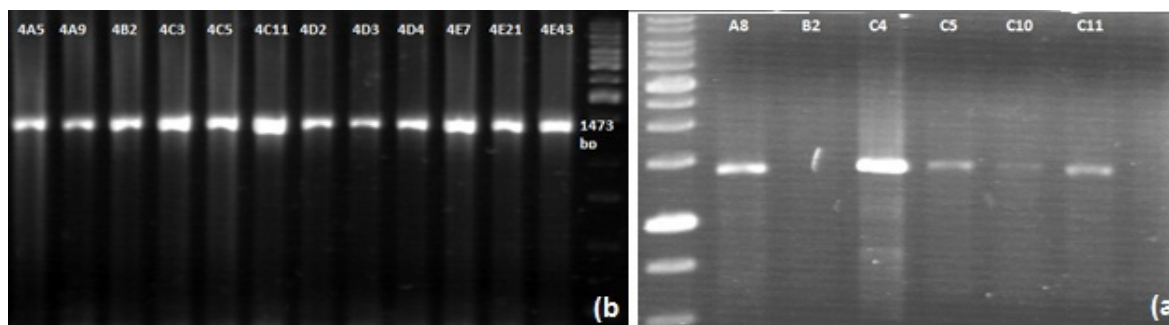
The number well from left to right are, respectively:

4A1-4A2-4A3-4A4-4A5-4A6-4A7-4A8-4A9-4A10-4A11-4A12-4A13-4A14-4A15-4A16-4A17-4A18-4A19-4C1-4C2-4C3-4C4-4C5-4C6-4C7-4C8

جدول ۲- برآورد نسبت حضور ژن *cryIAc* در نسل چهارم

Table 2. The estimation of the presence ratio of *cryIAc* gene in the T4 transgenic plants

نسل Generation	تعداد کل گیاهان Total plants	مدل Model	فراوانی مشاهدات و مورد انتظار Frequency of observed and expected		
			حضور ژن <i>cryIAc</i> Presence of <i>cryIAc</i>	عدم حضور ژن <i>cryIAc</i> Absence of <i>cryIAc</i>	χ^2
T4	94	مشاهدات Obs.	73	21	0.184 ^{ns}
		مورد انتظار Exp.	70.5	23.5	

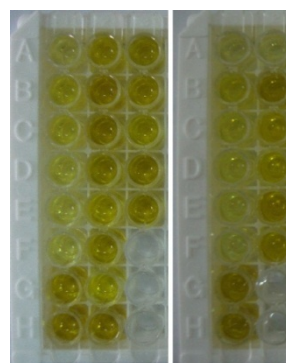


شکل ۵- a: تکثیر قطعه ۱۴۷۳ جفت بازی ژن *cryIAC* در آزمون RT-PCR در نسل سوم گیاهان تراریخته؛ b: تکثیر قطعه ۱۴۷۳ جفت بازی ژن *cryIAC* در آزمون RT-PCR در نسل چهارم گیاهان تراریخته
Fig. 5. a: Amplified 1473 bp *cryIAC* gene by RT-PCR in T3 generation of transgenic plants; b: T4 generation of transgenic plants

لاین‌های مختلف گیاهان تراریخته از ۲۴ نانوگرم بر گرم بافت تا تقریباً ۱۰۰ نانوگرم بر گرم بافت متفاوت بوده است.

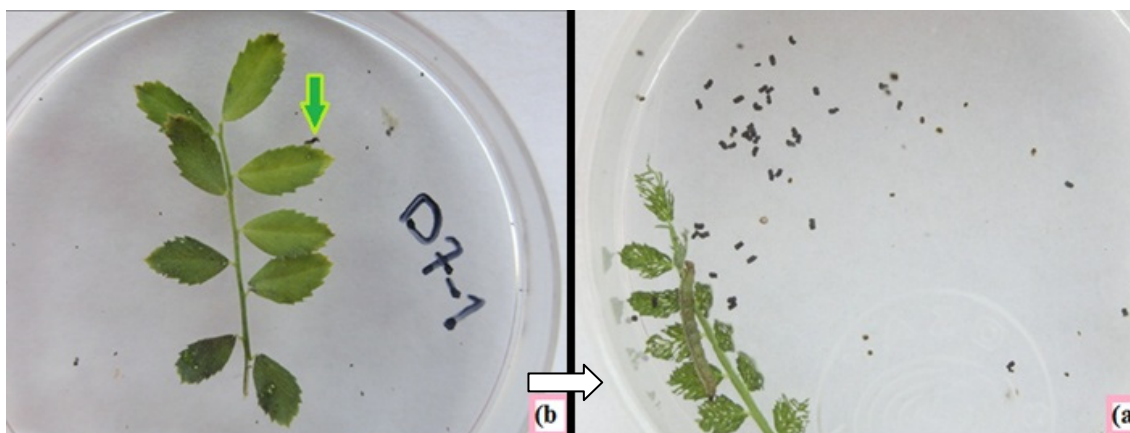
نتایج ارزیابی زیستی

طی نسل چهارم گیاهان تراریخته، ارزیابی زیستی با لارو یک تا دوروزه از آفت پيله‌خوار در سه تکرار در مقایسه با گیاهان غیرتراریخته حاصل از تفرق گیاهان تراریخته نسل سوم انجام گرفت. نتایج آزمون زیست‌سنجی حاکی از آن بود که تمام لاروهایی که با برگ گیاهان غیرتراریخته به‌عنوان نمونه شاهد تغذیه شدند، زنده ماندند (شکل ۷-ا) اما در مقابل ۱۰۰ درصد لاروهایی که با برگ گیاهان تراریخته تغذیه شدند، از بین رفتند (شکل ۷-ب) که این امر، نشان‌دهنده بروز موفقیت‌آمیز فنوتیپ مورد انتظار بوده است.



شکل ۶- رنگ متمایل به زرد در چاهک‌های مربوط به آزمون الایزا
Fig. 6. Yellow color of the well associated with the ELISA test

بر اساس نتایج الایزا، در تمام نمونه‌های مورد آزمون، پروتئین CryIAC بیان شده است. مقدار بیان این پروتئین در



شکل ۷- تغذیه لارو آفت پيله‌خوار از a: برگ گیاهان غیرتراریخته و زنده ماندن لارو (فلش، محل لارو رشد یافته را بر روی برگ نشان می‌دهد)؛ b: برگ گیاهان تراریخته و مرگ لارو (فلش، محل لارو مرده را نشان می‌دهد)
Fig. 7. Feeding pod borer larvae of: a) leaf of non-transgenic plant and survived larvae (Arrow shows the survived larvae); b) leaf of transgenic plant and dead larvae (Arrow shows the dead larvae)

در این بررسی، نتایج حاصل از PCR نشان داد که ژن *cryIAC* در گیاه نخود تاریخته به ثبات و پایداری رسیده است. همچنین تفکیک ژن *cryIAC* در نسل چهارم نسبت ۱:۳ را نشان داد. میزان انتقال ژن *cryIAC* در حدود ۷۷/۶۶ درصد بود. در بررسی‌های انجام‌شده در نخود، تفکیک ۱:۳ در نسل دوم گیاه تاریخته با ژن *cryIAC* مقاوم به آفت پيله‌خوار نیز گزارش شده است (Acharjee et al., 2010). نتایج به‌دست‌آمده نشان دادند که دو ژن *cryIAC* و *nptIII* در چندین نمونه از هم تفکیک شده‌اند، به طوری که در ۱۰ نمونه که دارای ژن *cryIAC* بودند، ژن *nptIII* منتقل نشده است. اما از این تعداد، تنها سه گیاه تولید بذری (متوسط ۵ عدد) نمودند و بذری T5 آن‌ها در اختیار است.

در این تحقیق مشخص شد که گیاه نخود تاریخته، فنوتیپ مورد نظر را آشکار کرد و نشان داد که ژن *cryIAC* اثر کشندگی بالایی بر روی لاروهای آفت پيله‌خوار دارد و باعث مرگ و میر ۱۰۰ درصدی لاروهای این آفت شد. مطالعه بر روی تأثیر سموم Bt و گیاهان تاریخته Bt نشان می‌دهد که هر کدام از سموم خانواده Bt تأثیرات متفاوتی بر روی لاروهای مختلف آفات دارند. از میان توکسین‌های Bt، سم CryIAC در برابر پيله‌خوار بسیار مؤثر شناخته شده است. پس از آن سموم Cry2Aa، Cry2Ab و Cry1Aa تأثیر بیشتری بر روی این آفت دارند (Perlak et al., 1990). ارزیابی زیستی نخود تاریخته با ژن *cry2Aa* برای مقاومت به آفت پيله‌خوار نخود، داده‌های متفاوتی را نشان داده است، اما در همه لاین‌هایی که بیان پروتئین بالایی داشتند، همه لاروها از بین رفتند (Acharjee et al., 2010). ارزیابی زیستی نخود تاریخته با ژن *cryIAC* علیه آفت پيله‌خوار، نشان‌دهنده مرگ و میر ۷۶ درصدی لارو این آفت بود (Indurker et al., 2010).

در مطالعه حاضر نیز گیاهان نسل سوم، از رشد بسیار خوبی برخوردار بودند، اما میزان بذوری تولیدی این گیاهان در مقایسه با گیاهان غیرتاریخته پایین بود. با این حال، اندازه ظاهری بذوری تولیدی گیاهان تاریخته با بذوری تولیدی گیاهان غیرتاریخته تفاوتی را نشان نمی‌داد. تفاوت فاحشی بین ارتفاع بوته، تعداد غوزه، تعداد روز تا بلوغ، میزان خسارت غوزه و عملکرد متوسط بین خطوط تاریخته و کنترل در گیاه پنبه تاریخته نیز به دو ژن *cryIAC* و *cry2A* مشاهده شد. همچنین رسیدگی سریع‌تر لاین‌های تاریخته نسبت به لاین‌های غیرتاریخته مشاهده شد و همه ویژگی‌ها در نسل‌های پیشرفته به توارث پایدار رسیده بودند (Bakhsh et al., 2009). رشد گیاهان نخود تاریخته دارای ژن *cry2Aa* طی دو هفته اول، تفاوتی با لاین‌های مادری نشان نمی‌داد که این امر نشان می‌دهد که بیان بالایی پروتئین بر سبزشدن و استقرار گیاهان تأثیر ندارد، در حالی که از هفته سوم به بعد کاهش رشد گیاهان تاریخته در مقایسه با گیاهان

غیرتاریخته مشاهده شد. همگام با کاهش رشد، تولید دانه نیز کاهش یافت. اما در لاین‌های با بیان پروتئینی کم، کاهش رشد دانه در مقایسه با لاین‌های مادری، تفاوت زیاد قابل توجهی نداشت. اندازه دانه‌ها در بین لاین‌ها تفاوت زیاد معنی‌داری را نشان نمی‌داد (Acharjee et al., 2010). البته مطالعات دیگر نشان داده است که لاین‌های تاریخته می‌توانند افزایش تولید داشته باشند. در مطالعه مربوط به لاین‌های تاریخته برنج با ژن‌های *cryIAC* و *cry2A* نشان داده شده است که این گیاهان در نسل‌های پیشرفته در مقایسه با گیاهان غیرتاریخته بیش از ۴۰ درصد بذری تولید کردند و همه این ویژگی‌ها در نسل‌های پیشرفته به ارث رسیده بودند (Rahman et al., 2007).

علت تفاوت در میزان خسارت در آزمایشات مربوط به آزمایشگاه و مزرعه شاید به دلیل سن گیاه و همچنین قسمت‌های مختلف گیاه باشد (Kranthi et al., 2005). گزارش‌ها نشان می‌دهد تاریختگی موجب رسیدگی زودتر و با دیرتر می‌شود (Jiang et al., 2000). علت این تنوع مورفولوژیکی احتمالاً به دلایلی از قبیل بروز تنوع سوماکلونی (Larkin & Scowcroft, 1981)، تفکیک ژن‌های گیاهی به دلیل وارد شدن ژن جدید یا جهش (Lijsebettens et al., 1991)، پلیوتروپی و یا خاموشی ژن القایی (Metzke et al., 2000) و یا بیان بالای پروتئین Cry (Gahakwa et al., 2000) نسبت داد که از بین این‌ها تنوع سوماکلونی محتمل‌تر به نظر می‌رسد، چون زمان بیشتری برای تولید گیاهان تاریخته در روش کشت بافت صرف می‌شود و طولانی شدن زمان کشت بافت فراوانی تنوع سوماکلونی را در پی دارد (Kaepler et al., 2000).

افزایش تعداد کپی‌های ترانسژن ممکن است باعث ناپایداری یا بی‌ثباتی شده و خاموش کردن ژن وابسته به همسانی را ایجاد کند. اما با طراحی دقیق، ممکن است به سطوح بالایی از بیان پروتئین از طریق رونویسی دست یافت (Butaye et al., 2005). برنج تاریخته بیان‌کننده سطح بالای (بیش از ۱ درصد پروتئین محلول) پروتئین CryIAC و Cry2A، نواقص رشدی و مورفولوژیکی از جمله توقف رشد و عقیمی را نشان داد (Gahakwa et al., 2000). بیان سطوح بالای پروتئین Bt در گیاهان، برای محافظت کامل، همیشه مورد نیاز نیست، مقدار کم (کمتر از ۰/۱ درصد کل پروتئین محلول) پروتئین CryIAb مرگ ۱۰۰ درصدی لارو ساقه‌خوار برنج را باعث می‌شود (Wunn et al., 1996). در مطالعه حاضر نیز، با توجه به این که بیان پروتئین CryIAC به میزان حدود ۳۲ نانوگرم بر گرم بافت (۹/۲۸ نانوگرم بر میلی‌لیتر پروتئین محلول) باعث کنترل ۱۰۰ درصدی آفت پيله‌خوار شد، به نظر می‌رسد بتوان با بیان پایین این پروتئین نیز آفت را کنترل کرد.

منابع

1. Acharjee, S., Sarmah, B.K., Kumar, P.A., Olsen, K., Mahon, R., Moar, W.J., Moore, A., and Higgins, T. J.V. 2010. Transgenic chickpeas (*Cicer arietinum* L.) expressing a sequence-modified *cry2Aa* gene. *Plant Science* 178: 333-339.
2. Bajaj, Y.P.S. 1990. *Biotechnology in Agriculture and Forestry 10: Legumes and Oilseed Crops*. New Delhi, India. p. 100-113.
3. Bakhsh, A., Rao, A.Q., Shahid, A.A., Husnain, T., and Riazuddin, S. 2009. Insect resistance and risk assessment studies in advance lines of Bt cotton harboring *cry1Ac* and *cry2A* genes. *American Eurasian Journal of Agricultural and Environmental Science* 6: 1-11.
4. Butaye, K.M.J., Cammue, B.P.A., Delaure, S.L., and De Bolle, M.F.C. 2005. Approaches to minimize variation of transgene expression in plants. *Molecular Breeding* 16: 79-91.
5. Chandra, A., and Pental, D. 2003. Regeneration and genetic transformation of grain legumes: An overview. *Current Science* 84: 381-387.
6. Fontana, G.S., Santini, L., Caretto, S., Frugis, G., and Mariotti, D. 1993. Genetic transformation in the grain legume *Cicer arietinum* L. (chickpea). *Plant Cell Reports*, 12: 194-198.
7. Gahakwa, D., Maqbool, S.B., Fu, X., Sudhakar, D., Christou, P., and Kohli, A. 2000. Transgenic rice as a system to study the stability of transgene expression: multiple heterologous transgenes show similar behaviour in diverse genetic backgrounds. *TAG Theoretical and Applied Genetics* 101: 388-399.
8. Indurker, S., Misra, H.S., and Eapen, S. 2007. Genetic transformation of chickpea (*Cicer arietinum* L.) with insecticidal crystal protein gene using particle gun bombardment. *Plant Cell Reports* 26: 755-763.
9. Indurker, S., Misra, H., and Eapen, S. 2010. *Agrobacterium*-mediated transformation in chickpea (*Cicer arietinum* L.) with an insecticidal protein gene: optimisation of different factors. *Physiology and Molecular Biology of Plants* 16: 273-284.
10. James, C. 2011. *Global Status of Commercialized Biotech/GM Crops: 2011*. ISAAA Brief No. 43. ISAAA: Ithaca, NY.
11. Jiang, J., Linscombe, S.D., Wang, J., and Oard, J.H. 2000. Field evaluation of transgenic rice (*Oryza sativa* L.) produced by *Agrobacterium* and particle bombardment methods. In: *Plant and Animal Genome VIII Conference (9-12 January, 2000, San Diego, CA, USA)*. Available from Internet: <http://www.intl-pag.org/8/abstracts/pag8695.html>.
12. Kaeppeler, S.M., Kaeppeler, H.F., and Rhee, Y. 2000. Epigenetic aspects of somaclonal variation in plants. *Plant Molecular Biology* 43: 179-188.
13. Kranthi, K.R., Naidu, S., Dhawad, C., Tatwawadi, A., Mate, K., Patil, E., Bharose, A., Behere, G., Wadaskar, R., and Kranthi, S. 2005. Temporal and intra-plant variability of *Cry1Ac* expression in Bt-cotton and its influence on the survival of the cotton bollworm, *Helicoverpa armigera* (Hubner) (Noctuidae: Lepidoptera). *Current Science-Bangalore* 89: 291.
14. Krishnamurthy, K., Suhasini, K., Sagare, A., Meixner, M., De Kathen, A., Pickardt, T., and Schieder, O. 2000. *Agrobacterium* mediated transformation of chickpea (*Cicer arietinum* L.) embryo axes. *Plant Cell Reports* 19: 235-240.
15. Larkin, P.J., and Scowcroft, W. 1981. Somaclonal variation-a novel source of variability from cell cultures for plant improvement. *TAG Theoretical and Applied Genetics* 60: 197-214.
16. Lijsebettens, M., Vanderhaeghen, R., and Montagu, M. 1991. Insertional mutagenesis in *Arabidopsis thaliana*: isolation of a T-DNA-linked mutation that alters leaf morphology. *TAG Theoretical and Applied Genetics* 81: 277-284.
17. Matzke, M.A., Mette, M., and Matzke, A. 2000. Transgene silencing by the host genome defense: implications for the evolution of epigenetic control mechanisms in plants and vertebrates. *Plant Molecular Biology* 43: 401-415.
18. Mehrotra, M., Singh, A.K., Sanyal, I., Altosaar, I., and Amla, D. 2011. Pyramiding of modified *cry1Ab* and *cry1Ac* genes of *Bacillus thuringiensis* in transgenic chickpea (*Cicer arietinum* L.) for improved resistance to pod borer insect *Helicoverpa armigera*. *Euphytica* 182: 87-102.
19. Moshtaghi, N. 2008. Genetic engineering for increasing resistance of chickpea (*Cicer arietinum* L.) to pod borer and freezing stress. Ph.D Dissertation, College of Agriculture, Ferdowsi University of Mashhad. (In Persian with English Summary).
20. Moshtaghi, N., Bagheri, A., Higgins, T.J., Jalali Javaran, M., and Ghareyazie, B. 2010. Genetic engineering for increasing resistance of chickpea (*Cicer arietinum* L.) to pod borer (*Helicoverpa armigera*). *Iranian Journal of Pulses Research* 1: 65-75. (In Persian with English Summary).
21. Perlak, F.J., Deaton, R.W., Armstrong, T.A., Fuchs, R.L., Sims, S.R., Greenplate, J.T., and Fischhoff, D.A. 1990. Insect resistant cotton plants. *Nature Biotechnology* 8: 939-943.

22. Polowick, P., Baliski, D., and Mahon, J. 2004. *Agrobacterium tumefaciens*-mediated transformation of chickpea (*Cicer arietinum* L.): gene integration, expression and inheritance. *Plant Cell Reports* 23: 485-491.
23. Popelka, J.C., and Higgins, T.J.V. 2007. Chickpea. In: E.C. Pua and M.R. Davey (Eds.). *Biotechnology in Agriculture and Forestry Vol. 59: Transgenic Crops IV*. Springer- Verlag berlin Heridelberg.
24. Rahman, M., Rashid, H., Shahid, A.A., Bashir, K., Husnain, T., and Riazuddin, S. 2007. Insect resistance and risk assessment studies of advanced generations of basmati rice expressing two genes of *Bacillus thuringiensis*. *Electronic Journal of Biotechnology* 10: 241-251.
25. Sanyal, I., Singh, A.K., Kaushik, M., and Amla, D.V. 2005. *Agrobacterium*-mediated transformation of chickpea (*Cicer arietinum* L.) with *Bacillus thuringiensis cryIAc* gene for resistance against pod borer insect *Helicoverpa armigera*. *Plant Science* 168: 1135-1146.
26. Schuh, W., Nelson, M.R., Bigelow, D.M., Orum, T.V., Orth, C.E., Lynch, P.T., Eyles, P.S., Blackhall, N.W., Jones, J., Cocking, E.C., and Davey, M.R. 1993. The phenotypic characterisation of R2 generation transgenic rice plants under field conditions. *Plant Science* 89: 69-79.
27. Somers, D.A., Samac, D.A., and Olhoft, P.M. 2003. Recent advances in legume transformation. *Plant Physiology* 131: 892-899.
28. Wunn, J., Kloti, A., Burkhardt, P.K., Biswas, G.C.G., Launis, K., Iglesias, V.A., and Potrykus, I. 1996. Transgenic indica rice breeding line IR58 expressing a synthetic *cryIA (b)* gene from *Bacillus thuringiensis* provides effective insect pest control. *Nature Biotechnology* 14: 171-176.

Bioassay and molecular tests of transgenic chickpea (*Cicer arietinum* L.) resistant to *Helicoverpa armigera* Hub.

Ebadi Babajan¹, P., Moshtaghi^{2*}, N., Bagheri², A., Marashi², H. & Malekzadeh-Shafaroudi², S.

1. MSc. of Agricultural Biotechnology, College of Agriculture, Ferdowsi University of Mashhad
2. Contributions from Biotechnology and Plant Breeding Department, College of Agriculture and Biotechnology Research Center, Ferdowsi University of Mashhad

Received: 1 May 2012
Accepted: 11 May 2014

Abstract

Pod borer is one of the main causes for yield loss of chickpea. Therefore, breeding of chickpea for resistance to this pest is important. The use of Cry toxin from *Bacillus thuringiensis* is an effective strategy for producing of transgenic resistant chickpea to this pest. These toxins are able to become active in the midgut of larvae and disrupt the insect's digestive system. We studied the stability and expression of cry1Ac gene obtained as T2 transgenic chickpea with cry1Ac gene and nptII gene with binary T-DNA in T3 and T4 generations of transgenic plants and observed the transgenic lines with cry1Ac gene and no nptII gene suggesting that separation between cry1Ac and nptII genes was occurred by recombination between two T-DNAs. In T3, PCR results showed that 6 of 25 putative transgenic plants had cry1Ac gene but all of them showed the nptII gene. From six samples with positive PCR in cry1Ac gene, five of them had positive results in RT-PCR reaction, confirming the expression of cry1Ac gene in transgenic lines. PCR results in T4 plants showed that 73 of 94 plants had cry1Ac gene and 81 of 94 samples included the nptII gene. In 10 samples cry1Ac gene separated from nptII gene. According ELISA results, in all samples tested, Cry1Ac protein was expressed in different concentrations. Bioassay tests showed that all pod borer larvae fed by leaves of transgenic plants, were dead, but all survived when the larvae were fed with leaves of non-transgenic plants. So, expected phenotype was observed successfully.

Key words: Bt, Chickpea, cry1Ac, Pod borer, Transgenic

*Corresponding Author: moshtaghi@um.ac.ir